

Ежегодная международная научно-практическая конференция
«РусКрипто'2020»

Параметризованная криптографическая хеш-функция $\text{HamSi-}n$.

Ермаков Кирилл Дмитриевич,
Студент НИЯУ МИФИ

Цель работы

Цель работы — создание параметризованной криптографической хеш-функции, параметром которой является длина результирующего хеш-кода.

Для достижения заданной цели были поставлены следующие задачи:

- Анализ существующей хеш-функции для последующей модификации;
- Получение параметризованной версии выбранной хеш-функции;
- Исследование полученного алгоритма.

Криптографическая хеш-функция Hamsi

- Расширение сообщения $E: \{0,1\}^m \rightarrow \{0,1\}^n$
- Конкатенация сообщений $C: \{0,1\}^n \times \{0,1\}^n \rightarrow \{0,1\}^s$
- Нелинейное преобразование $P, P_f: \{0,1\}^s \rightarrow \{0,1\}^s$
- Усечение сообщения $T: \{0,1\}^s \rightarrow \{0,1\}^n$

Hamsi-256:

$$h_i = (T \circ P \circ C(E(M_i), h_{i-1})) \oplus h_{i-1}, h_0 = iv_{256}, 0 < i < l$$

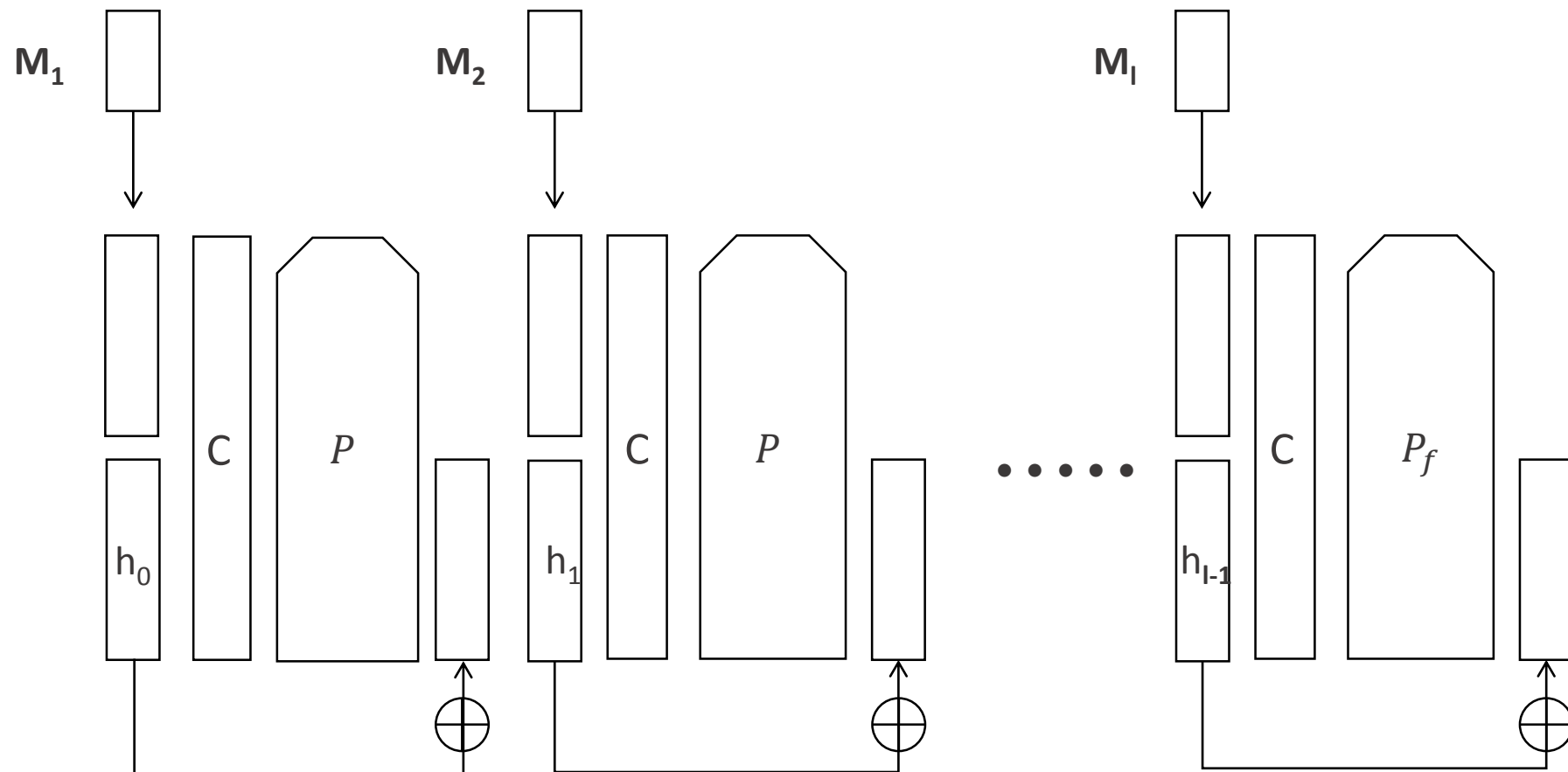
$$h = (T \circ P_f \circ C(E(M_l), h_{l-1})) \oplus h_{l-1}, m = 32, n = 256, s = 512$$

Hamsi-512:

$$h_i = (T \circ P \circ C(E(M_i), h_{i-1})) \oplus h_{i-1}, h_0 = iv_{512}, 0 < i < l$$

$$h = (T \circ P_f \circ C(E(M_l), h_{l-1})) \oplus h_{l-1}, m = 64, n = 512, s = 1024$$

Схема работы алгоритма



- M_i - блок открытого текста
- h_i - значение хеш-кода на i -ой итерации
- C - конкатенация сообщений
- P, P_f - нелинейное преобразование

Анализ линейного преобразования

В нелинейных преобразованиях P и P_f используется следующее линейное преобразование L над векторами вида (a, b, c, d) :

```

a := a <<< 13
c := c <<< 3
b := b ⊕ a ⊕ c
d := d ⊕ c ⊕ (a << 3)
b := b <<< 1
    
```

```

d := d <<< 7
a := a ⊕ b ⊕ d
c := c ⊕ d ⊕ (b << 7)
a := a <<< 5
c := c <<< 22
    
```

Коэффициент рассеивания

Показатель рассеивания (англ. branch number) линейного преобразования F равняется:

$$\min_{a \neq 0} (W(a) + W(F(a)))$$

Методом перебора для данного преобразования было найдено, что при векторе вида

$$a = c = d = (0, \dots, 0)$$

$$b = (0, x_1, x_2, x_3, x_4, x_5, x_6, x_7, 0, \dots, 0), x_1, \dots, x_7 \in F_2$$

данная сумма является минимальной и равна 3.

Класс линейных преобразований

Вид линейного преобразования:

$$\begin{aligned}
 x_1 &:= x_1 \oplus x_2 \oplus x_3 \\
 x_4 &:= x_4 \oplus x_2 \oplus (x_3 \ll c_1) \\
 x_1 &:= (x_1 \lll c_2) \\
 x_4 &:= (x_4 \lll c_3) \\
 x_2 &:= x_2 \oplus x_1 \oplus x_4 \\
 x_3 &:= x_3 \oplus x_1 \oplus (x_4 \ll c_4)
 \end{aligned}$$

где $x_1 \dots x_4 \in F_2^n, c_i \in \{1 \dots n - 1\}$

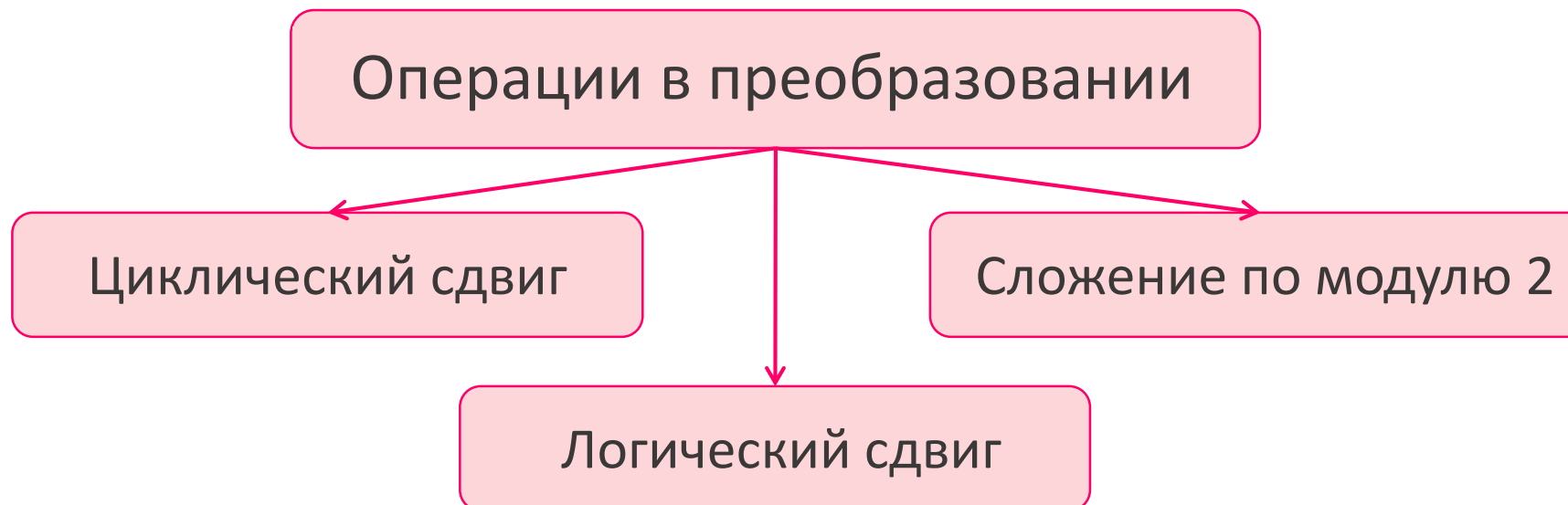
Вектора, при которых значение коэффициента рассеивания минимально, выглядят следующим образом

$$x_1 = x_2 = x_4 = (0, \dots, 0), x_3 \text{ зависит от значений битовых сдвигов}$$

$$x_1 = x_2 = x_3 = (0, \dots, 0), x_4 \text{ зависит от значений битовых сдвигов}$$

Инвариантные подпространства

Для полученного класса линейных преобразований был осуществлен поиск инвариантных подпространств для проверки уязвимости данного класса к атакам основанным на инвариантных подпространствах.



Инвариантные подпространства

Полученное инвариантное подпространство для класса линейных преобразований имеет вид:

$$(a_1 a_1 a_1 \dots d_1 d_1 d_1 a_2 a_2 a_2 \dots d_2 d_2 d_2 a_3 a_3 a_3 \dots d_3 d_3 d_3 a_4 a_4 a_4 \dots d_4 d_4 d_4),$$

$$a_i, \dots, d_i \in F_2$$

Для того, чтобы не было инвариантных подпространств необходимо и достаточно использовать 2 сдвига **a** и **b**, что:

$$\text{НОД}(a,b)=1$$

Параметризованная хеш-функция Hamt*s*-*n*

Параметризованную версию алгоритма Hamt*s*-*n* можно представить с помощью следующих преобразований:

- Расширение сообщения $E: \{0,1\}^{n/8} \rightarrow \{0,1\}^n$
- Конкатенация сообщений $C: \{0,1\}^n \times \{0,1\}^n \rightarrow \{0,1\}^{2 \cdot n}$
- Нелинейное преобразование $P, P_f: \{0,1\}^{2 \cdot n} \rightarrow \{0,1\}^{2 \cdot n}$
- Усечение сообщения $T: \{0,1\}^{2 \cdot n} \rightarrow \{0,1\}^n$

$$h_i = (T \circ P \circ C(E(M_i), h_{i-1})) \oplus h_{i-1}, h_0 = iv_n, 0 < i < l$$

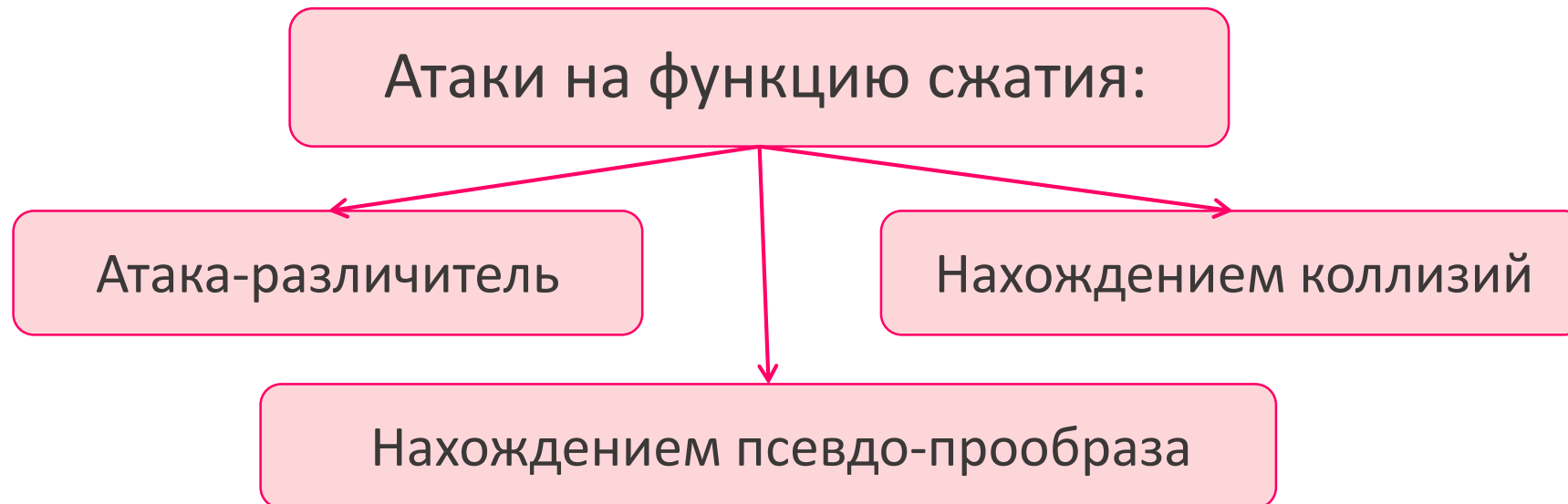
$$h = (T \circ P_f \circ C(E(M_l), h_{l-1})) \oplus h_{l-1}$$

Особенности параметризованной версии

- Размер блоков открытого текста равен $\frac{n}{8}$ бит;
- Внутреннее состояние представлено в виде матрицы 4x4 слова по $\frac{n}{8}$ бит;
- При расширении сообщения могут использоваться линейные коды над полями F_2, F_4, F_{16} ;
- Используется линейное преобразование из полученного класса л/п.

Рассмотренные атаки на Hamsi

Основными работами по криптоанализу хеш-функции Hamsi являются атаки на функцию сжатия Hamsi-256. Все данные атаки направлены на функцию сжатия криптографической хеш-функции, не понижая при этом стойкость самой функции.



Алгоритм поиска неактивных бит

1. Выбрать столбец матрицы внутреннего состояния, сделать начальное внутреннее состояние нулевым;
2. Добавить разницу весом в 1 или 2 бита цепному значению в выбранном столбце;
3. Наблюдать за возможным изменением внутреннего состояния с учетом добавленной разницы на протяжении нескольких раундов.
4. После прохождения всех раундов, неотмеченные биты результата не будут меняться с вероятностью 1 при добавлении выбранной разницы.

Изменения в параметризованном алгоритме

Проанализировав атаки и алгоритм по поиску неактивных бит, в алгоритм были внесены следующие изменения:

- Изменение S-блока
- Изменение класса линейных преобразований
- Изменение слоя линейных преобразований



Изменение s-блока

	0	1	2	3	4	5	6	7	8	9	a	b	c	d	e	f
0	16	0	0	0	0	0	0	0	0	0	0	0	0	0	0	0
1	0	0	0	0	0	2	0	2	0	0	2	2	2	0	4	2
2	0	0	0	4	0	4	0	0	0	4	0	0	0	0	0	4
3	0	4	2	0	0	0	2	0	0	2	0	0	2	0	2	2
4	0	0	0	0	0	0	4	0	0	0	4	4	0	4	0	0
5	0	4	0	2	2	2	2	0	2	0	0	0	2	0	0	0
6	0	0	2	2	2	2	0	0	2	2	0	0	0	0	2	2
7	0	0	0	0	4	2	0	2	0	0	2	2	2	0	0	2
8	0	0	0	2	0	2	0	4	0	2	0	0	0	4	0	2
9	0	0	0	2	0	0	0	2	4	2	2	2	2	0	0	0
<i>a</i>	0	0	2	0	2	0	4	0	2	0	4	0	0	0	2	0
<i>b</i>	0	4	0	0	2	0	2	0	2	2	0	0	2	0	0	2
<i>c</i>	0	0	2	0	2	0	0	0	2	0	0	4	0	4	2	0
<i>d</i>	0	4	2	2	0	2	2	0	0	0	0	0	2	0	2	0
<i>e</i>	0	0	2	0	2	0	0	4	2	0	0	0	0	4	2	0
<i>f</i>	0	0	4	2	0	0	0	2	0	2	2	2	2	0	0	0

Изменение s-блока

Используемые в блочном шифре Serpent s-блоки

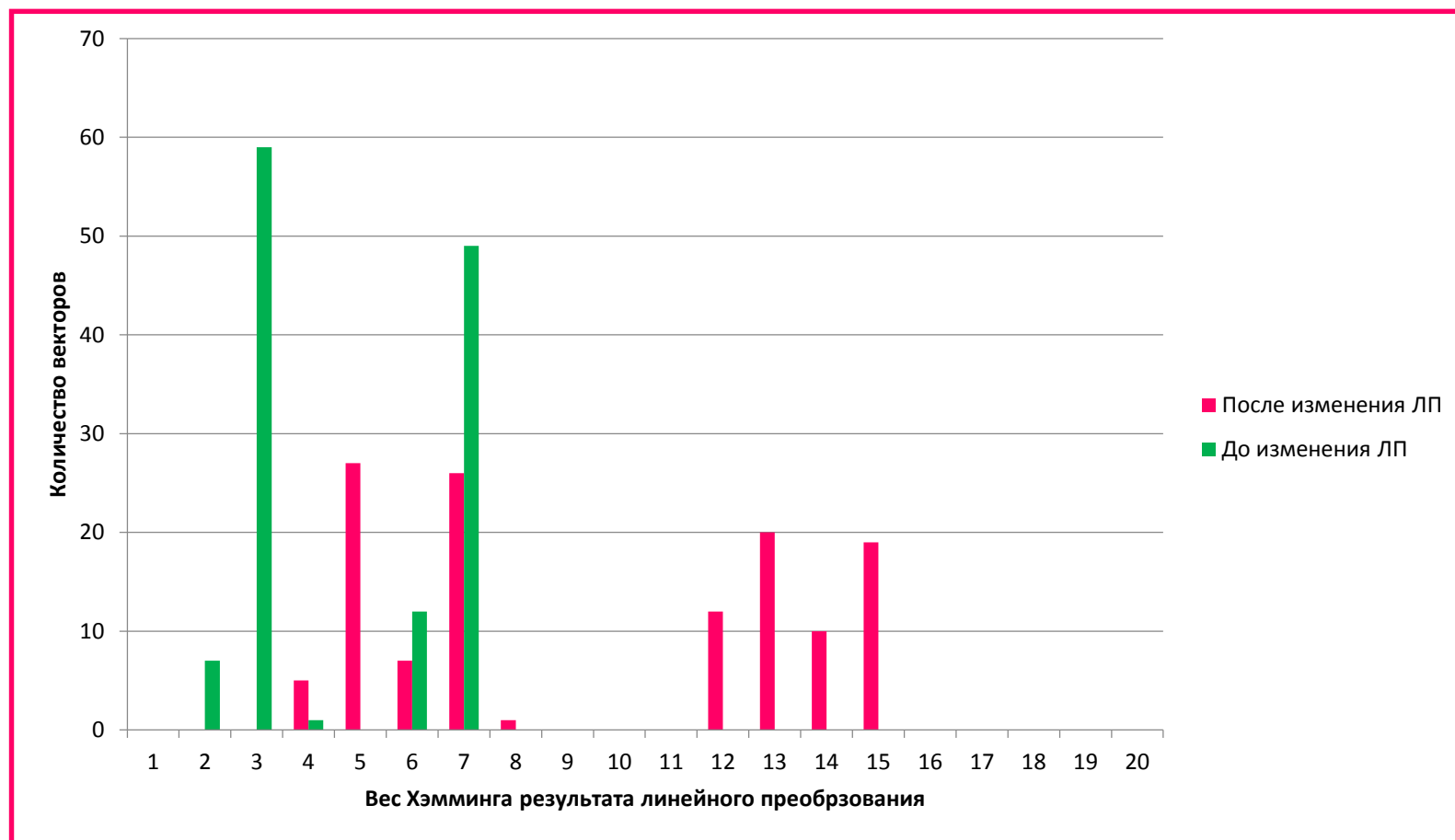
S0:	3	8	15	1	10	6	5	11	14	13	4	2	7	0	9	12
S1:	15	12	2	7	9	0	5	10	1	11	14	8	6	13	3	4
S2:	8	6	7	9	3	12	10	15	13	1	14	4	0	11	5	2
S3:	0	15	11	8	12	9	6	3	13	1	2	4	10	7	5	14
S4:	1	15	8	3	12	0	11	6	2	5	4	10	9	14	7	13
S5:	15	5	2	11	4	10	9	12	0	3	14	8	13	6	7	1
S6:	7	2	12	5	8	4	6	11	14	9	1	15	13	3	10	0
S7:	1	13	15	0	14	8	2	11	7	4	12	10	9	3	5	6

Изменение класса линейных преобразований

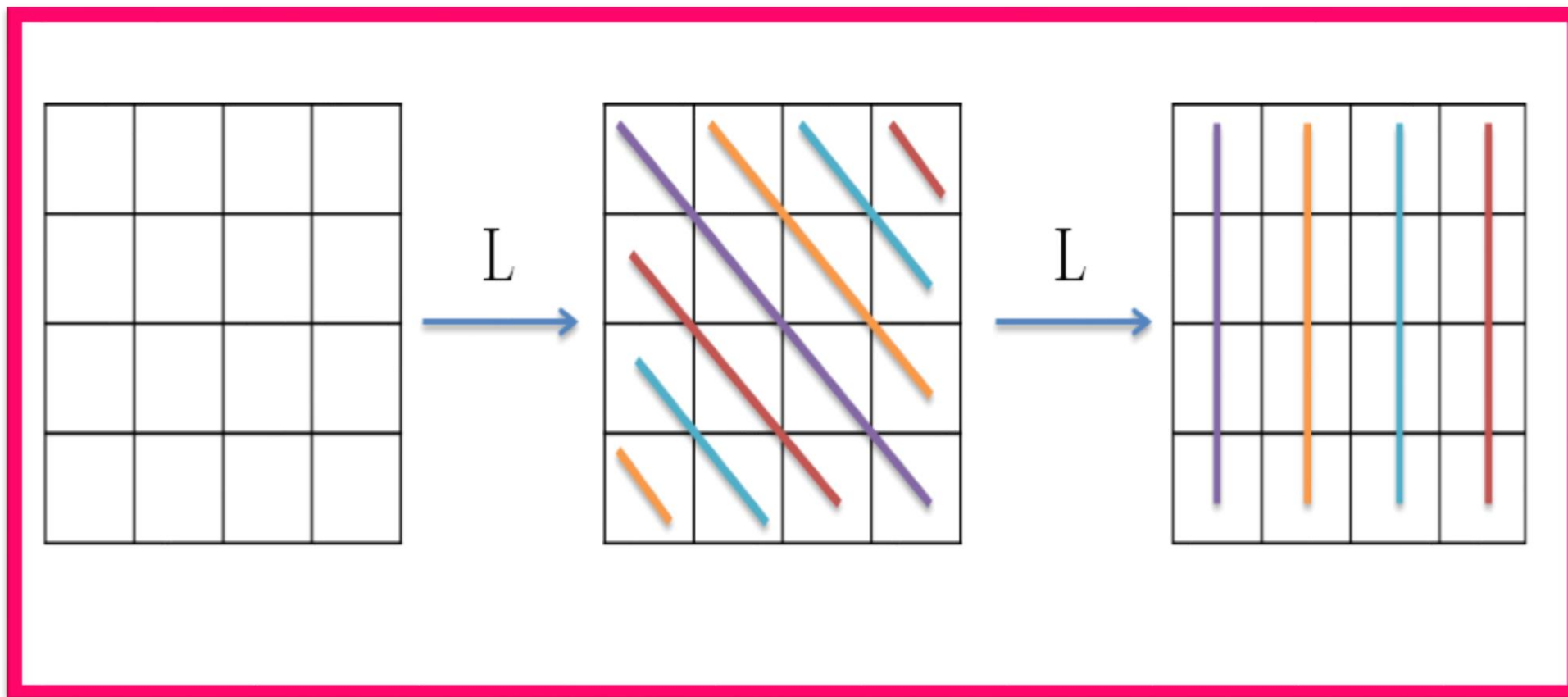
Класс л/п до изменения	Класс л/п после изменения
$x_1 := x_1 \oplus x_2 \oplus x_3$ $x_4 := x_4 \oplus x_2 \oplus (x_3 \ll c_1)$ $x_1 := (x_1 \lll c_2)$ $x_4 := (x_4 \lll c_3)$ $x_2 := x_2 \oplus x_1 \oplus x_4$ $x_3 := x_3 \oplus x_1 \oplus (x_4 \ll c_4)$	$x_1 := x_1 \oplus x_2 \oplus x_3$ $x_4 := x_4 \oplus x_3 \oplus (x_2 \ll c_1)$ $x_1 := (x_1 \lll c_2)$ $x_4 := (x_4 \lll c_3)$ $x_2 := x_2 \oplus x_1 \oplus x_4$ $x_3 := x_3 \oplus x_4 \oplus (x_1 \ll c_4)$ $x_2 := (x_2 \lll c_5)$ $x_4 := (x_4 \lll c_6)$ $x_1 := x_1 \oplus x_2 \oplus (x_4 \ll c_7)$ $x_3 := x_3 \oplus x_4 \oplus x_2$

Улучшение рассеивания в линейном преобразовании

Увеличение влияния одного бита разницы с от 2-7 до от 4-15 бит результата



Изменения слоя линейных преобразований



Поиск неактивных бит после изменений

00000000	00000000	00000000	00000000
01000000	00000000	00000000	00000000
00000000	00000000	00000000	00000000
01000000	00000000	00000000	00000000

1 раунд

00000000	00000010	00000082	40000000
02000000	00000000	00000000	10000000
01020000	00000000	00000000	00200000
80000000	00000004	00000000	00000000

2 раунд

08771d1a	60f028b1	2e19419f	c58be9a0
06041549	800028e8	02050105	b0608008
831e5403	68008abd	0e0415ff	f0e2e020
8b000141	49000a0c	00285100	10438828

3 раунд

ffffffff	ffffffff	ffffffff	ffffffff
fffebfff	ff7f7fff	7efffbff	ffffdfff
ffffffff	ffffffff	ffffffff	f5ffffffff
fffefd7	fff77eff	defbfff7	fdf7fcfe

До изменений

00000000	00000000	00000000	00000000
01000000	00000000	00000000	00000000
00000000	00000000	00000000	00000000
01000000	00000000	00000000	00000000

1 раунд

00a10000	00300050	000b0002	40006d00
0c009000	80070000	a0103080	100e0040
05000008	00c00800	00060b00	00000090
2b000030	00100004	000e0060	0d70000c

2 раунд

f15fcfff	8efffd1f	9fffb1ff	5faffdff
ffebf9ff	c2ff5fff	ff3ffbff	f38faffe
cff0dffa	fff8f3d2	fff0efff	ffe7fcff
fff77fff	ff3ffc5f	fdffff2f	67fffcfd

3 раунд

ffffffff	ffffffff	ffffffff	ffffffff
ffffffff	ffffffff	ffffffff	ffffffff
ffffffff	ffffffff	ffffffff	ffffffff
ffffffff	ffffffff	ffffffff	ffffffff

После изменений

Особенности реализации алгоритма

Параллельное вычисление:

- Сложения с константными значениями и счетчиком;
- Слой из s -блоков;
- Слой линейных преобразований.

Реализация линейного преобразования расширения сообщения при помощи использования таблиц поиска.

Таблицы поиска для расширения сообщения

Общее число таблиц поиска: $\frac{n}{8 \cdot p}$

Объем каждой таблицы в битах: $2^p \cdot n$

Значения для Hammi-256

p	объем каждой таблицы	количество таблиц
2	2048	16
3	2688	11
4	4096	8
5	6272	7
6	10368	6
7	16896	5
8	32768	4

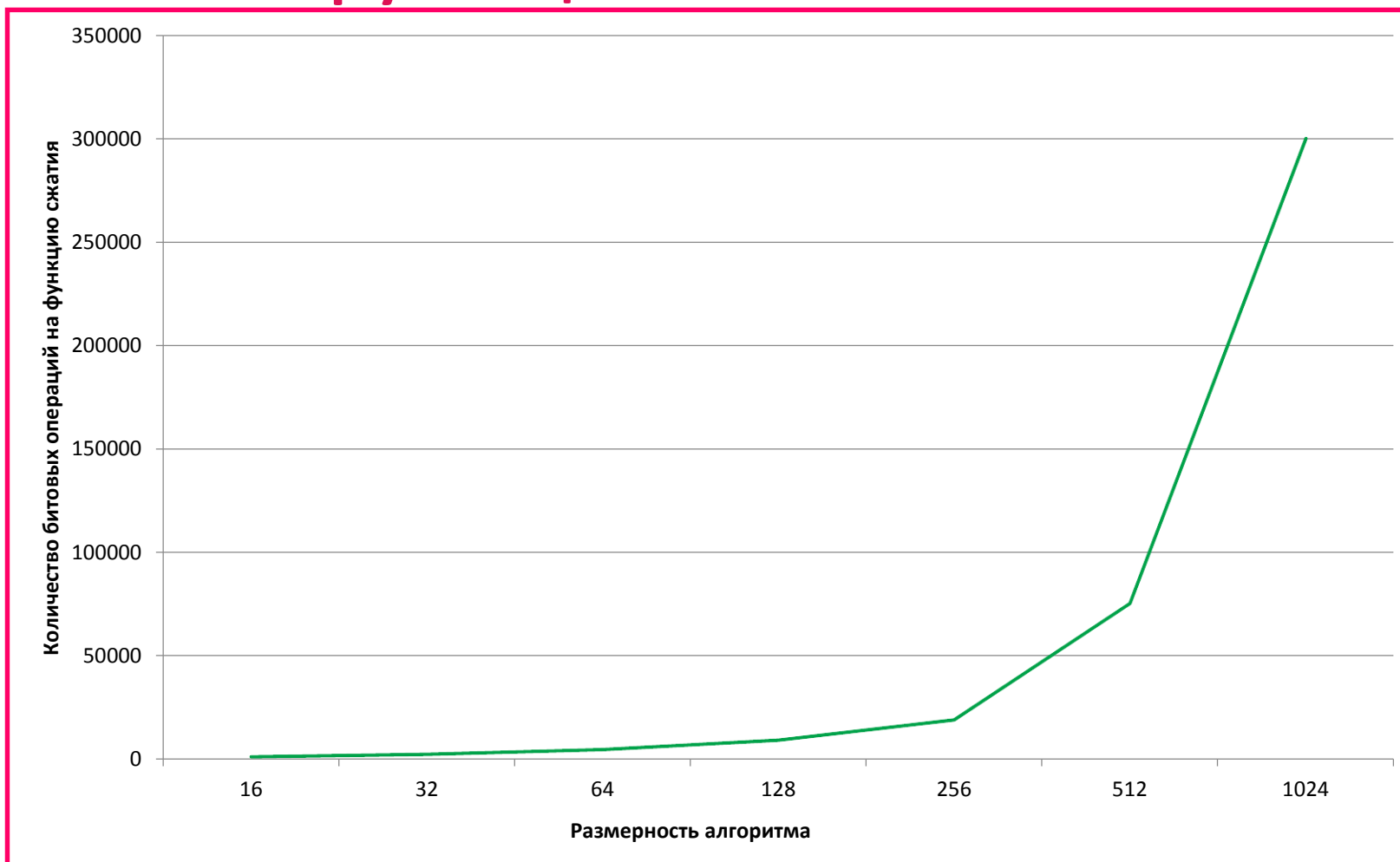
Оценка количества операций на выполнение функции сжатия

Преобразование	Количество битовых операций (И,ИЛИ,ХОР)
Расширения сообщения	$\frac{n^2}{8 \cdot p}$
Конкатенация сообщений	—
x раундов нелинейной перестановки P	$23 \cdot n \cdot x$
Усечение сообщения	—
Сложение с предыдущим цепным значением	n

Общее число битовых операций

$$n \cdot \left(23 \cdot x + 1 + \frac{n}{8 \cdot p} \right)$$

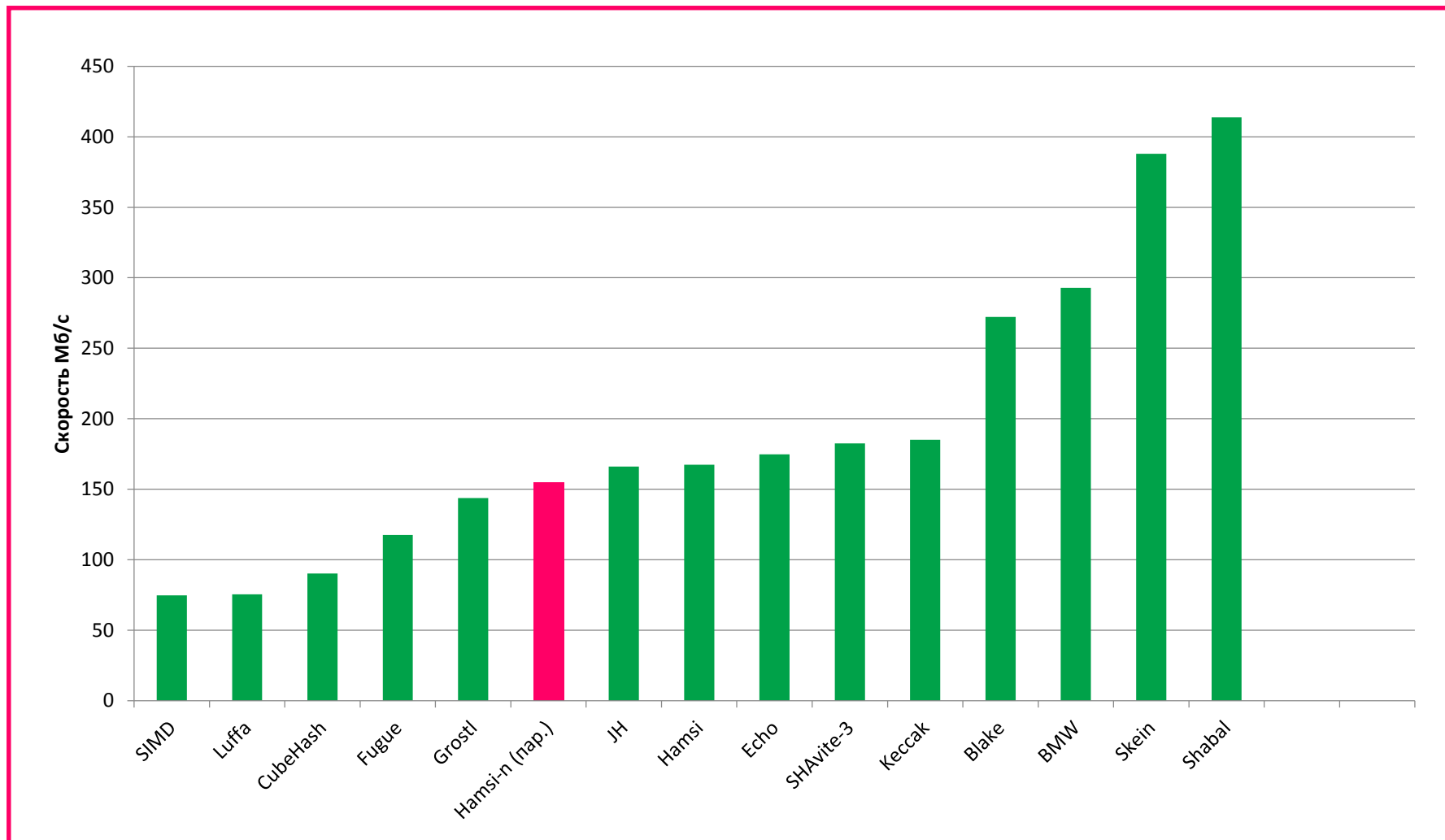
Оценка количества операций на выполнение функции сжатия



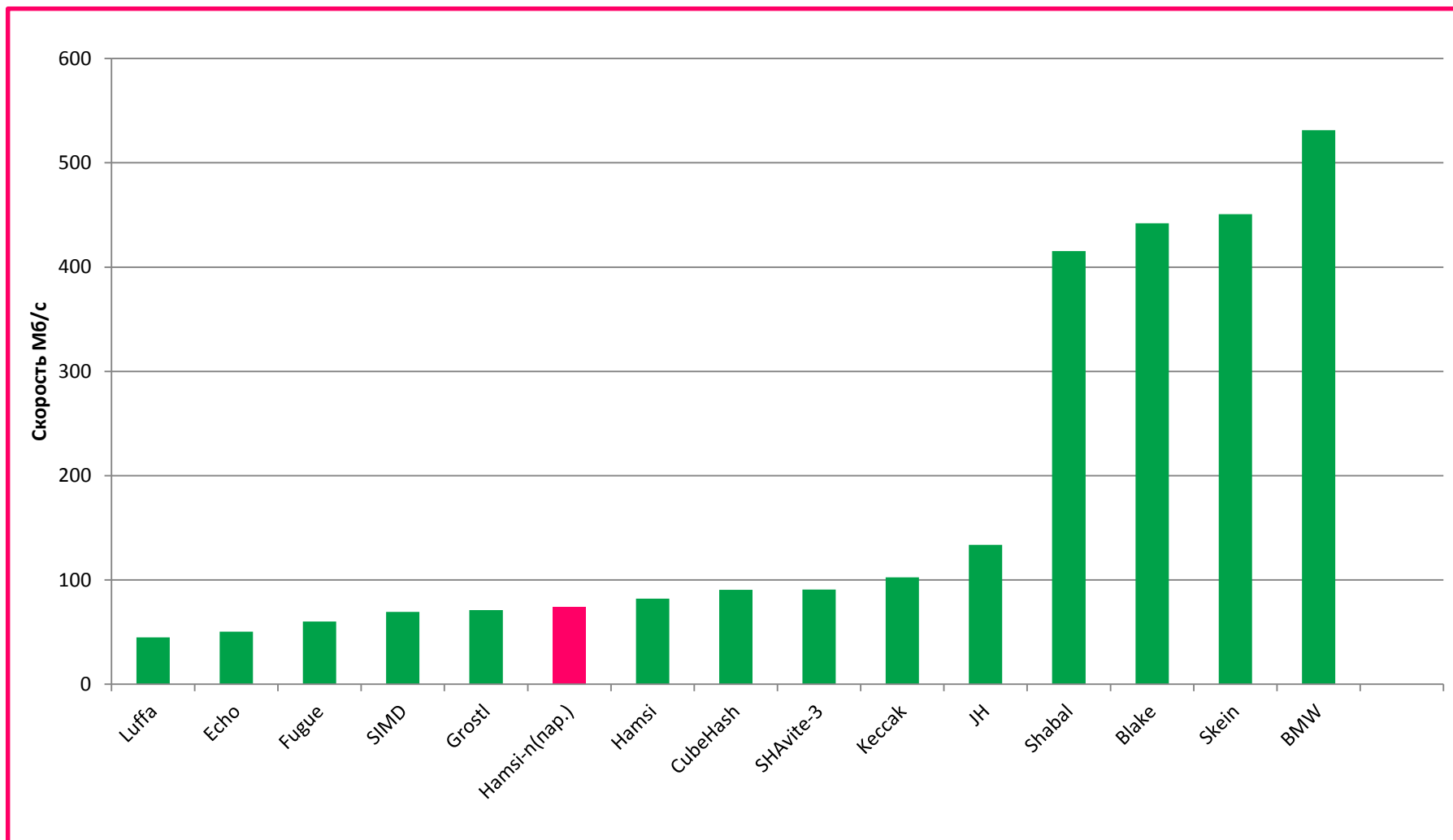
Сравнение скорости параметризованной версии с другими участниками конкурса SHA-3

Алгоритм	256-битная версия		512-битная версия	
	Мбайт/с	Тактов/байт	Мбайт/с	Тактов/байт
Blake	272,17	15,43	441,97	9,50
BMW	292,81	14,34	531,34	7,90
CubeHash	90,28	46,52	90,49	46,41
Echo	174,71	24,34	50,31	83,48
Fugue	117,51	35,74	60,18	69,79
Grosth	143,83	29,20	71,01	59,14
Hamsi	167,34	23,68	81,93	51,26
Hamsi-n(пар.)	155,03	25,44	73,72	56,97
JH	166,08	30,86	133,72	31,40
Keccak	185,17	22,68	102,37	41,02
Luffa	75,36	55,73	44,95	93,43
SHAvite-3	182,59	27,52	90,64	46,33
Shabal	413,83	10,14	415,36	10,11
SIMD	74,76	56,17	69,24	60,65
Skein	388,03	10,82	450,76	9,31

Сравнение скорости 256-битных версий



Сравнение скорости 512-битных версий



Заключение

- ✓ В качестве основы алгоритма была взята и проанализирована хеш-функция Hamsi;
- ✓ На основе полученного анализа был описан параметризованный алгоритм Hamsi- n ;
- ✓ Функция сжатия изменена в соответствии с изученными работами по криптоанализу Hamsi;
- ✓ Осуществлен анализ скорости работы параметризованного алгоритма.

Спасибо за внимание!

Контактная информация

Электронная почта:

ermakov-kir@mail.ru

Телефон:

+7 929 039-25-24

